



## یک مدل سینتیکی تجربی جدید در رنگرزی اکریلیک با رنگزای کاتیونی

علی رضا تهرانی بقاء<sup>۱\*</sup>، هژیر بهرامی<sup>۲</sup>، برهمن موثق<sup>۳</sup>، مختار آرامی<sup>۴</sup>، سید حسین امیرشاهی<sup>۵</sup>، فرد منگر<sup>۶</sup>

۱- گروه پژوهشی مواد رنگزای آلی، پژوهشکده صنایع رنگ، تهران، ایران، صندوق پستی: ۱۶۷۶۵-۶۵۴

۲- دانشکده مهندسی نساجی، دانشگاه صنعتی امیرکبیر، تهران، ایران، صندوق پستی: ۱۵۸۷۵-۴۴۱۳

۳- دانشکده شیمی، دانشگاه خواجه نصیرالدین طوسی، تهران، ایران، صندوق پستی: ۱۶۳۱۵-۱۶۱۸

۴-Chemistry Department, Emory University, Atlanta 30322, Georgia, USA

تاریخ دریافت: ۱۳۸۶/۸/۲۲ تاریخ پذیرش: ۱۳۸۶/۱۱/۱۷ در دسترس به صورت الکترونیکی از: ۱۳۸۶/۱۲/۲۰

### چکیده

اثر کندکنندگی یک سری سطح فعال‌های کاتیونی دوقلو در رنگرزی اکریلیک با یک رنگزای کاتیونی (متیلن بلو) با استفاده از طیف‌سنجی نور مرئی - ماوراء بنفس مورد مطالعه قرار گرفت. سرعت جذب رنگزای افزایش دما، افزایش می‌یابد و قدرت کندکنندگی سطح فعال‌های دوقلوی کاتیونی بسیار بیشتر از نمونه مونومری آنهاست. در این تحقیق یک مدل سینتیکی (همزان مرتبه اول و دوم) برای رنگرزی لیف اکریلیک ارائه شده است. سینتیک رنگرزی اکریلیک با یک رنگزای کاتیونی در دماهای مختلف و در حضور سطح فعال‌های مونومری و دوقلو با استفاده از معادلات تجربی مورد مطالعه قرار گرفت. معادله جدید در مقایسه با سایر معادلات سینتیکی توافق بسیار خوبی با مقادیر تجربی نشان می‌دهد.

واژه‌های کلیدی: مدل سینتیکی، رنگرزی اکریلیک، سطح فعال‌های دوقلو، کندکنندگی، رنگزای کاتیونی.

## A New Empirical Kinetic Model for Acrylic Dyeing with a Cationic Dye

A. R. Tehrani-Bagha\*, H. Bahrami, B. Movassagh, M. Arami, S. H. Amirshahi, F. M. Menger

### Abstract

*The retarding effect of gemini cationic surfactants in acrylic dyeing with a cationic dye (methylene blue) was studied by using UV-Vis spectroscopy. The dye adsorption rate increases with increasing temperature. The retarding action of gemini cationic surfactants is much stronger than that of the corresponding monomeric surfactants. In this work, a new empirical kinetic model based on simultaneous first and second order has been proposed. The kinetic of acrylic dyeing with a cationic dye at different temperatures and in the presence of monomeric and gemini cationic surfactants was studied by using different empirical equations. The proposed equation showed a very good correlation with experimental data in comparison to the previous ones. J. Color Sci. Tech. 1(2008), 73-82. © Institute for Colorants, Paint and Coatings.*

**Keyword:** Kinetic model, Acrylic dyeing, Gemini surfactants, Retarding, Cationic dye.

\* Corresponding author: [tehrani@icrc.ac.ir](mailto:tehrani@icrc.ac.ir)

از آنجا که تعداد و نوع گروههای آنیونی در الیاف مختلف اکریلیک، متفاوت است لذا مقدار کندکننده لازم برای حصول یکنواختی مناسب رنگرزی، به مقدار رنگرا، نوع لیف، شکل کالا و ماشین رنگرزی بستگی دارد. استفاده بیش از اندازه از این مواد می‌تواند باعث مسدود شدن گروههای رنگپذیر لیف گردد. مقدار بهینه مصرف این مواد را با استفاده از اطلاعات و فرمول ارائه شده توسط تولیدکننده به دست می‌آورند [۱۴، ۲۷، ۲۸].

در تحقیق قبلی، روش سنتر و خواص فیزیکی-شیمیایی سطح فعالهای کاتیونی دو قلو و خواص کندکننده ای این سطح فعالهای کاتیونی بر روی کالای اکریلیکی در رنگرزی با رنگرای کاتیونی مورد مطالعه قرار گرفته است [۱۵]. در این تحقیق یک مدل سینتیکی تجربی جدید برای رنگرزی اکریلیک ارائه شد و نتایج با سایر مدل‌های سینتیکی تجربی مورد مقایسه قرار گرفت.

### ۱- معادلات سینتیکی تجربی

فرآیند رنگرزی الیاف اکریلیک طی سه مرحله انجام می‌گیرد. ابتدا رنگرهای کاتیونی به واسطه برهمکنش قوى الکترواستاتيکي جذب سطح لیف می‌شوند و در مرحله بعد مولکول‌های رنگرا به داخل لیف نفوذ می‌کنند. برای این منظور لازم است ساختار لیف باز شود که این عمل در دماهای بالاتر از دمای انتقال شیشه‌ای لیف امکان‌پذیر است. مرحله نهایی جذب و تثبیت رنگرهای رنگرزی آنیونی رنگپذیر لیف است. از آنجا که در ک و نفکیک مراحل مختلف رنگرزی شامل جذب رنگرا روی سطح لیف، انتشار و تثبیت آن بر روی لیف عملاً امکان‌پذیر نمی‌باشد، از معادلات سینتیکی تجربی برای بررسی فرآیند رنگرزی استفاده می‌شود [۱۶].

سرعت رنگرزی را معمولاً به صورت مقدار رنگرای جذب شده در واحد زمان تعريف می‌کنند و بنابراین، ثابت سرعت  $k$  از معادله  $(C_i - dC_i/dt) = kf$  (معادله ۱) قابل محاسبه می‌باشد. برای بررسی سینتیک رنگرزی، معادلات تجربی مختلفی مورد استفاده قرار می‌گیرد که می‌توان به معادلات سه‌می (معادله ۱)، مرتبه اول (معادله ۲)، معادله سگارا-پونته<sup>۱</sup> (معادله ۳) و معادله اصلاح شده سگارا-پونته (معادله ۴) اشاره نمود. اگرچه معادلات سینتیکی تجربی دیگری نیز توسعه یافته‌اند، لیکن معادله بهبود یافته سگارا و پونته یکی از بهترین معادلاتی است که برای بررسی سینتیکی رنگرزی استفاده می‌شود و معمولاً توافق خیلی خوبی با نتایج رنگرزی دارد [۱۶، ۱۱]. در این معادلات  $C_i$  مقدار رنگرا جذب شده بر حسب گرم بر کیلوگرم لیف یا درصد در زمان  $t$  می‌باشد و  $dC_i/dt$  تغییرات غلظت رنگرا با زمان و یا سرعت رنگرزی را نشان می‌دهد.  $C_0$  و  $C_\infty$  نیز به ترتیب غلظت اولیه رنگرا در حمام و غلظت رنگرا در لحظه تعادل را نشان می‌دهند.

### ۱- مقدمه

الیاف اکریلیک ممکن است در ساختار خود دارای گروههای آنیونی مختلفی باشند که قابلیت رنگپذیری با رنگرهای کاتیونی یا بازیک را به آنها می‌بخشد. این گروههای ممکن است به واسطه آغازگر پرسولفات در فرآیند پلیمریزاسیون در ساختار الیاف اکریلیک به وجود بیایند [۱-۳]. جذب رنگرهای بازیک بر روی الیاف اکریلیک از مکانیسم جذب لانگمیور پیروی می‌کند و به یک مقدار اشباع می‌رسد. این مقدار اشباع متناسب با تعداد گروههای آنیونی موجود در لیف می‌باشد. در فرآیند رنگرزی، کاتیون‌های رنگرا از طریق مکانیسم تبادل یونی جایگزین کاتیون‌های بی‌رنگ (سدیم، پتاسیم و هیدروژن) متصل به گروههای آنیونی لیف می‌شوند [۴-۸]. بنابراین، یونیزاسیون رنگرا و گروههای اسیدی لیف، نقش بسیار مهمی در برداشت رنگرا توسط الیاف اکریلیک دارند [۴]. در هر حال مشاهده شده است که میزان رنگزای کاتیونی جذب شده بر روی الیاف اکریلیک اندکی از مقدار مورد انتظار برای جذب روی گروههای اسیدی لیف بیشتر است. این امر را به حل شدن رنگرا و ایجاد تجمعات مولکولی آن در داخل لیف نسبت می‌دهند [۵-۷].

در فرآیند رنگرزی اکریلیک با مواد رنگرای کاتیونی، در آغاز تعداد گروههای رنگپذیر لیف و گرادیان غلظت رنگرا در سطح لیف زیاد است، سرعت جذب و برداشت رنگرا روی سطح لیف بسیار سریع می‌باشد. برای تداوم فرآیند جذب رنگرا، مولکول‌های جذب شده یا باید واجذب پیدا کرده و در روی سایر مناطق رنگپذیر جذب کرده و جذب این که مولکول‌های جدید رنگرا به داخل لیف نفوذ کرده و جذب مکان‌های موجود شوند. چنین فرآیندی به تمایل ذاتی رنگرا، گرادیان غلظت رنگرا در اطراف لیف، در دسترس بودن مکان‌های رنگپذیر و

تعداد مولکول‌های رنگرای جذب شده بستگی دارد [۱۲-۲۰].

به دلیل برداشت سریع رنگرهای کاتیونی متدال در یک محدوده کوچک دمایی ( $10-15^{\circ}\text{C}$ ) بالاتر از دمای انتقال شیشه‌ای ( $T_g$ ) و عدم مهاجرت این رنگرهای از لیف، کنترل یکنواختی رنگرزی توسط کنترل دما و افزودن الکتروولیت به تنها یکی کفايت نمی‌کنند. از این رو، برای انجام رنگرزی‌های یکنواخت، استفاده از عوامل کندکننده رنگرزی الزامي است. کندکننده‌ها اغلب سطح فعالهای کاتیونی هستند که با انتخاب نوع مناسب با غلظت بهینه، می‌توان رنگرزی یکنواخت و با صرفه اقتصادی بالا انجام داد [۱، ۳]. کاتیون‌های بی‌رنگ سطح فعال با کاتیون‌های رنگرا برای تصاحب مکان‌های محدود آنیونی سطح لیف رقابت می‌کنند و تعداد کاتیون‌های مؤثر برای اشباع نسبی (نسبت کاتیون‌های مؤثر موجود در حمام رنگرزی به مکان‌های رنگپذیر آنیونی لیف) را افزایش می‌دهند. این رقابت باعث کاهش سرعت رنگرزی و کاهش سرعت انتشار رنگرا به داخل لیف می‌شود و سبب بهبود یکنواختی رنگرزی می‌گردد [۱۳-۲۰].

1- Cegarra-Puente

دو دسیل آمین (٪/۹۵) از شرکت آکرس آمریکا و استن خشک (٪/۹۹,۵)، دی اتیل اتر (٪/۹۶)، تولوئن (٪/۹۹) از شرکت مرک آلمان و دی متیل اتانول (٪/۹۹,۵)، اسید استیک (٪/۹۹,۷) و سدیم استات هیدراته (٪/۹۹) از شرکت‌های پاراک اسپانیا و لب اسکن ایرلند تهیه شدند.

نخ حجیم شده اکریلیک ۲۴ دولا (۱۲,۲ Nm) با ۲۵۰-۲۶۰ تاب در متر متمشکل از الیاف ۳ و ۵ دنیر نوع درالون (باير آلمان) توسط شرکت نخیران اهدا شد. این نوع از الیاف اکریلیک به روش تر ریسی تهیه می‌شوند و متمشکل از ٪/۹۳ اکریلوپیتریل و ٪/۷ وینیل استات در ساختار پلیمری خود هستند. به دلیل حضور یون‌های پرسوفلات به عنوان آغازگر در پلیمریزاسیون رادیکالی، این الیاف دارای گروه‌های سولفات و یا سولفونات در انتهای زنجیرهای پلیمری خود هستند.

## ۲-۲- روش کار

نمونه‌های اکریلیک بافته شده، توسط محلول ۱,۵٪ سطح فعال غیربیونی دیادوبین در ۶۰°C شستشو و چندین بار با آب مقطر آبکشی شدند. محلول‌های رنگرزی با استفاده از محلول بافر استات با pH=۴,۵ در آب مقطر تهیه شدند. برای ساخت محلول بافر از اسید استیک و سدیم (٪/۱) نسبت به وزن کالا) استفاده شد.

یک راکتور شیشه‌ای چهار دهانه ۵۰۰ میلی‌لیتری جهت بررسی سینتیکی جذب رنگزا روی الیاف اکریلیک مورد استفاده قرار گرفت. سیستم حرارت‌دهی از طریق یک حمام روغن بر روی یک گرم‌کن با همزن مغناطیسی بود. کنترل دقیق حرارت توسط سیستم PID ساخت شرکت آتبین ایران با حسگر حرارتی Pt-100 انجام گرفت. یک قطعه مغناطیسی با روکش نفلون جهت همزدن محلول داخل راکتور استفاده شد. یک استوانه مشبک از جنس استیل ضد زنگ برای جلوگیری از تماس مستقیم این قطعه با نمونه اکریلیک روی آن قرار داده شد. در این فرآیند، حجم محلول رنگرزی ۳۰۰ میلی‌لیتر بود. پس از حصول دمای موردنظر، نمونه اکریلیکی آماده‌سازی شده (٪/۳) به داخل محلول وارد شد و نمونه‌برداری از این محلول در زمان‌های مختلف انجام گرفت. این نمونه‌ها بعد از رقیق‌سازی با آب مقطر توسط دستگاه جذب سنجی نور مولئی - ماوراء بنفس مورد ارزیابی قرار گرفتند. میزان رمک‌کشی<sup>۱</sup> کالا از محلول رنگی در زمان t با استفاده از معادله ۱۱ محاسبه می‌شود که در اینجا  $C_t$  و  $C_0$  به ترتیب غلظت اولیه و غلظت رنگزا در زمان t می‌باشند.

$$\text{Exhaustion}(\%) = \left( \frac{C_0 - C_t}{C_0} \right) \times 100 \quad (11)$$

1- Dodecyltrimethyl ammonium bromide

2- Methylene blue

3- Dralon

4- Diadavin

5- Exhaustion

$$\frac{dC_t}{dt} = \frac{k}{C_t} \rightarrow C_t = k\sqrt{t} \quad (1)$$

$$\frac{dC_t}{dt} = k (C_\infty - C_t) \rightarrow \ln (1 - \frac{C_t}{C_\infty}) = -kt \quad (2)$$

$$\ln (1 - \frac{C_t^2}{C_\infty^2}) = -kt \quad (3)$$

$$\ln [\ln (1 - \frac{C_t^2}{C_\infty^2})] = a \times \ln k + a \times \ln t \quad (4)$$

## ۱-۲- معادله همزمان مرتبه اول و دوم (معادله سینتیکی پیشنهادی)

علاقه به توسعه و به کارگیری معادلات جدیدتر در فرآیندهای مختلف جذب و از جمله رنگرزی همواره وجود داشته است. یکی از معادلات سینتیکی ارائه شده، معادله همزمان مرتبه اول و دوم است که به صورت  $\frac{k_1, k_2}{A \rightarrow B}$  نشان داده می‌شود. معادله سرعت واکنش به صورت زیر نوشته می‌شود:

$$\frac{dC_t}{dt} = -k_1 \times C_t - k_2 \times C_t^2 \quad (5)$$

سرعت فرآیند رنگرزی در لحظه تعادل صفر می‌شود، بنابراین، معادله زیر بین ثابت سرعت  $k_2$  و  $k_1$  برقرار می‌شود:

$$\lim_{C_t \rightarrow C_\infty} \frac{dC_t}{dt} = 0 \Rightarrow -k_1 \times C_\infty - k_2 \times C_\infty^2 = 0 \Rightarrow k_1 = -k_2 \times C_\infty \quad (6)$$

با قرار دادن  $k_1$  از معادله ۵ در معادله ۶ و با فرض  $k = k_2 \times C_\infty$ <sup>۲</sup> می‌توان نوشت:

$$\frac{dC_t}{dt} = -k_2 \times C_\infty \times C_t - k_2 \times C_t^2 \quad (7)$$

$$\frac{dC_t}{dt} = k_2 \times C_\infty^2 \times \left( \frac{C_t}{C_\infty} \right) \times \left( 1 - \frac{C_t}{C_\infty} \right) \quad (8)$$

با فرض  $c = C_t / C_\infty$  و پس از مرتب‌سازی و انتگرال‌گیری در محدوده مشخص خواهیم داشت:

$$\int_0^c \frac{dc}{c \times (1-c)} = \int_0^t k dt \quad (9)$$

$$\ln \left( \frac{c}{1-c} \right) = kt \quad (10)$$

در این تحقیق از معادله ۱۰ که فرم تغییر یافته معادله سرعت همزمان مرتبه اول و دوم است در کنار سایر معادلات تجربی سینتیکی استفاده شده و نتایج با یکدیگر مقایسه شده است.

## ۲- بخش تجربی

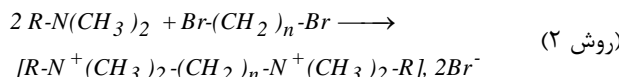
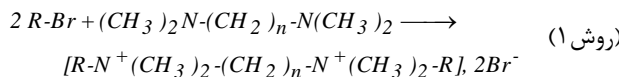
### ۲-۱- مواد شیمیایی

دیادوبین (٪/۹۸)، دو دسیل برمید (٪/۹۸)، دو دسیل برمید (٪/۹۸)، دی‌برموپتان

(٪/۹۸)، دی‌برمو هگزان (٪/۹۷)،  $N^{'}, N^{'}, N, N$ -تترامتیل

اتیلن دی‌آمین (٪/۹۸)، دو دسیل تری متیل آمونیوم برمید

سطح فعال‌های کاتیونی ساده را می‌توان با یکی از دو روش زیر سنتز نمود که در اینجا R زنجیر آلکیل می‌باشد:



برای سنتز سطح فعال‌های دوقلوی کاتیونی، عموماً واکنش‌گرها تحت رفلaks در اتanol و یا استن خشک قرار می‌گیرند و محصول به وسیله نوبلور کردن خالص می‌شود. وقتی  $n = 2$  باشد، سنتز سطح فعال کاتیونی دوقلو به روش اول انجام می‌پذیرد. چنانچه دی‌پرمید در دسترس باشد روش دوم ترجیح داده می‌شود. در هر حال، امکان سنتز سطح فعال‌های دوقلوی کاتیونی با  $n \geq 3$  به روش اول نیز امکان‌پذیر است. نحوه سنتز و خالص‌سازی سطح فعال‌های دوقلوی کاتیونی مورد استفاده در این تحقیق در [۱۹] به طور کامل توضیح داده شده است.

### ۳- نتایج و بحث

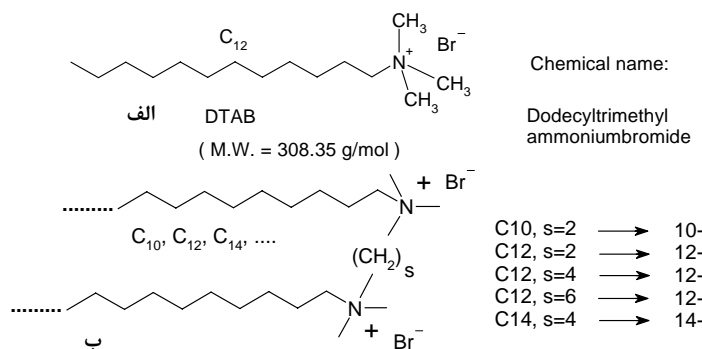
ساختار شیمیایی سطح فعال‌های کاتیونی مورد استفاده در این تحقیق در شکل ۱ ارائه شده است. سطح فعال کاتیونی DTAB در واقع نمونه مونومری سطح فعال‌های ۶ و  $4 = 2, 4, 12-s-12, s$  به حساب می‌آید که در اینجا  $s$  نمایانگر طول پل ارتباطی بین دو گروه آبده است سطح فعال دوقلو می‌باشد. یک نمونه با طول زنجیر آلکیل کوتاه‌تر ۱۰-۲-۱۰ و بلندتر ۱۴-۴-۱۴ نیز سنتز شده است که در این شکل ارائه شده‌اند.

سطح فعال‌های دوقلو در مقایسه با سطح فعال‌های مونومری دارای دو گروه کاتیونی در هر مولکول خود هستند. از این رو برای مقایسه و تنظیم نسبت بار به مولکول، غلظت مولی آنها در بررسی اثر کندکنندگی، نصف غلظت مولی سطح فعال مونومری در نظر گرفته شده است. این کار باعث می‌شود مقایسه‌ها در شرایط یکسان از لحاظ تعداد گروه‌های کاتیونی موجود در حمام رنگرزی انجام شود.

مقدار اشباع لیف اکریلیک در واقع مشخص کننده مکان‌های رنگ‌پذیر آنیونی لیف می‌باشد و نشان می‌دهد که چه مقدار رنگزا یا کندکننده کاتیونی (owf) برای اشباع این مکان‌ها لازم است. در صورت مشخص بودن وزن مولکولی، کل بار مثبت و خلوص رنگزا یا کندکننده امکان محاسبه مقدار اشباع لیف وجود خواهد داشت [۱۷]. تعیین فاکتور اشباع لیف اکریلیک ( $S_F$ ) و غلظت رنگرا تا حد اشباع ( $C_{Sat}$ ) بر طبق استاندارد انجمن رنگرزان و متخصصین رنگ انجام شده است [۱۸]. برای این منظور ۶ کالای اکریلیکی آماده‌سازی شده با غلظت‌های مختلف از یک رنگزا کاتیونی با فاکتور اشباع مشخص به مدت ۶ ساعت رنگرزی شدند. pH حمام‌های رنگرزی توسط بافر استیک اسید و استات سدیم در  $\text{pH}=4.5$  تنظیم شدند و نسبت حجم محلول به وزن کالا ۱۰۰ به ۱ انتخاب شد. محلول‌ها قبل و بعد از رنگرزی، بعد از رقیق‌سازی با نسبت مشخص توسط دستگاه اسپکتروفوتومتر جذبی مورد ارزیابی قرار گرفتند. درصد رنگزا به کار گرفته شده بر حسب مقدار رنگزا باقی مانده در حمام رنگرزی رسم می‌شود و غلظتی از رنگزا که در آن ۹۰٪ اشباع لیف حاصل شده است بر طبق قرارداد به عنوان غلظت اشباع لیف در نظر گرفته می‌شود. این مقدار با استفاده از معادله ۱۲ به مقدار اشباع لیف مربوط می‌شود که فاکتور اشباع ماده رنگرا ( $f_{Dye}$ ) از معادله ۱۳ محاسبه می‌شود.

$$S_F = f_{Dye} \times C_{Sat}. \quad (12)$$

$$f_{Dye} \approx \frac{400}{dye \text{ molecular weight}} \times Dye \text{ Purity (\%)} \quad (13)$$



شکل ۱: ساختار شیمیایی (الف) تری متیل آمونیوم برمید و (ب) سطح فعال‌های کاتیونی دوقلو.

می‌یابد [۱۰، ۱۳، ۱۴].

### ۳-۳ مقایسه اثر سطح‌فعال‌ها

نتایج نشان می‌دهد که سطح‌فعال‌های کاتیونی مورد آزمایش با اشغال تعدادی از گروه‌های آئیونی رنگ‌پذیر لیف اکریلیک مانع از دسترسی رنگزاهای کاتیونی به این گروه‌ها و برقراری پیوند یونی با آنها می‌شوند. تفاوت بسیار زیاد در مقدار رنگزای جذب شده MB در حضور سطح‌فعال‌های دوقلوی کاتیونی و سطح‌فعال مونومری DTAB نشان دهنده برقراری اتصال قوی‌تر با گروه‌های آئیونی لیف اکریلیک است. تفاوت چندانی بین اثر سطح‌فعال‌های (۶ و ۴ و ۱۲-۸ و ۱۲-۵) در دماهای مختلف ملاحظه نمی‌شود. لیکن تأثیر کندکنندگی جذب رنگزای MB در حضور سطح‌فعال‌های ۱۰-۲-۱۰ و ۱۰-۴-۱۴ نسبت به سری ۱۲-۸-۱۲ به ترتیب کمتر و بیشتر است. از این رو، می‌توان نتیجه گرفت که با افزایش طول زنجیر آکلیل در این سطح‌فعال‌ها و در نتیجه افزایش آبگریزی آنها، اثر کندکنندگی افزایش یافته است. این مسئله را می‌توان از دو دیدگاه مختلف مورد بررسی قرار داد. اول اینکه سطح‌فعال‌های کاتیونی جذب مکان‌های آئیونی سطح لیف می‌شوند و از طریق کاهش مکان‌های محدود رنگ‌پذیر سطح لیف با رنگزای کاتیونی رقابت می‌کنند. این امر باعث کاهش بار منفی سطح لیف می‌شود. دوم اینکه زنجیرهای آبگریز این سطح‌فعال‌ها می‌توانند با ایجاد ممانعت فضایی و یا آبگریز کردن سطح لیف، جذب رنگزا را تا حد زیادی کاهش دهند. بدیهی است که افزایش ممانعت فضایی و افزایش مقدار آبگریزی سطح نسبت مستقیم با طول زنجیر چرب سطح‌فعال دارد. نیروهای واندروالس و آبگریزی بین زنجیر چرب سطح‌فعال و زنجیر آبگریز پلیمر اکریلونیتریل با افزایش طول زنجیر چرب سطح‌فعال افزایش می‌یابد. این امر سبب ایجاد اتصال قوی‌تر با لیف می‌شود و از این رو مولکول رنگرا برای جایگزین کردن مولکول سطح‌فعال با طول زنجیر چرب طویل‌تر دشواری بیشتری خواهد داشت.

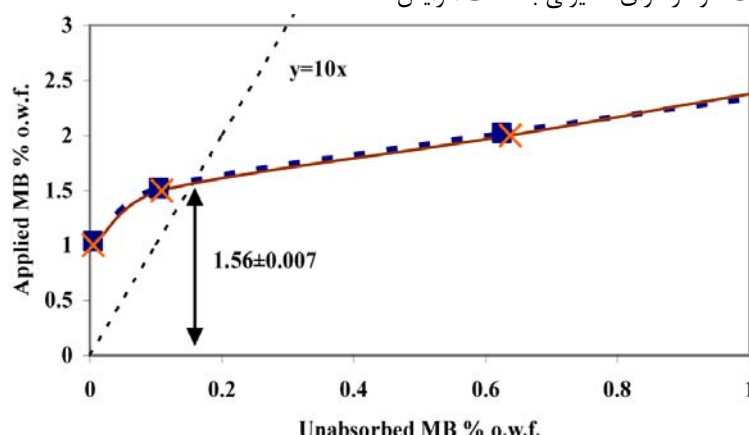
تعیین فاکتور اشباع لیف اکریلیک ( $S_F$ ) و غلظت رنگزا تا حد اشباع ( $C_{Sat}$ ) بر طبق استاندارد انجمان رنگرزان انجام شده است [۱۸]. درصد رنگرزی به کارگرفته شده بر حسب مقدار رنگزای باقی مانده در حمام رنگرزی برای رنگزای متیلن بلو (MB) در شکل ۲ ارائه شده است. میانگین مقادیر دوبار اندازه‌گیری غلظت اشباع رنگزای متیلن بلو، ۱.۵۶٪ می‌باشد. با معلوم بودن وزن مولکولی و خلوص ماده رنگزا می‌توان فاکتور اشباع لیف ( $S_F$ ) را محاسبه نمود.

### ۳-۱-۱ اثر غلظت در دمای ثابت

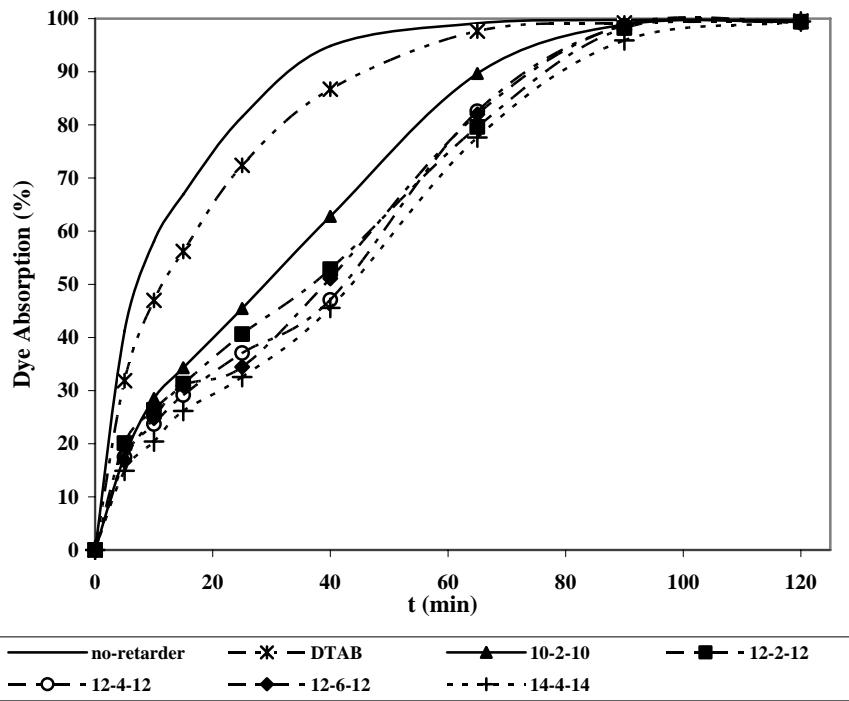
بررسی اثر کندکنندگی سطح‌فعال‌های کاتیونی در سه غلظت مختلف در دمای ثابت ۹۰°C مورد بررسی قرار گرفت که برای نمونه تنها دو سری از منحنی‌های جذب در شکل‌های ۳ و ۴ آورده شده‌اند. برای مقایسه و تنظیم نسبت بار به مولکول، غلظت مولی سطح‌فعال‌های دوقلو نصف غلظت مولی سطح‌فعال مونومری آنها در نظر گرفته شده است. همان‌طور که ملاحظه می‌شود با افزایش غلظت سطح‌فعال‌های کاتیونی، جذب رنگزای MB بر روی اکریلیک کاهش می‌یابد. این امر به دلیل افزایش تعداد کاتیون‌های رقیب حاضر در حمام رنگرزی از طریق افزایش اشباع نسبی لیف و رقابت برای تصاحب مکان‌های رنگ‌پذیر آئیونی لیف می‌باشد.

### ۳-۲-۱ اثر دما در غلظت ثابت

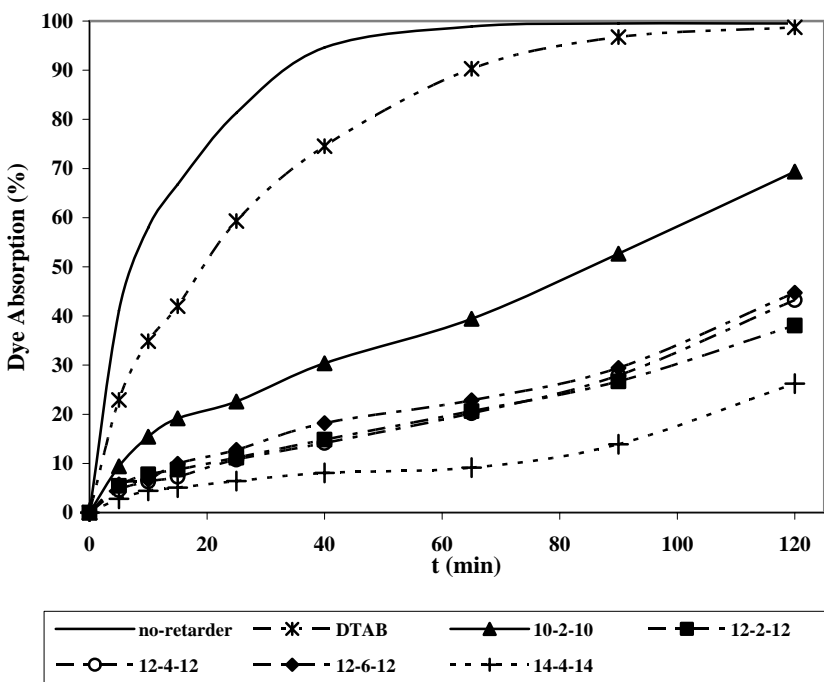
بررسی اثر کندکنندگی سطح‌فعال‌های کاتیونی در غلظت ثابت در چهار دمای مختلف ۹۰، ۹۲.۵، ۹۵ و ۹۷°C (جوش) مورد بررسی قرار گرفت. نتایج برای نمونه در ۹۰°C (شکل ۴) و ۹۵°C (شکل ۵) ملاحظه می‌شوند. با در نظر گرفتن روند تغییرات در یک غلظت ثابت می‌توان نتیجه گرفت که با افزایش دما مقدار جذب رنگزای MB می‌افزایش یافته است. افزایش دما (بالاتر از دمای ۹۰°C لیف اکریلیک)، باعث افزایش تحرک زنجیرهای مولکولی لیف اکریلیک می‌شود. این امر امکان دسترسی کاتیون‌های رنگرا به گروه‌های رنگ‌پذیر داخل لیف را فراهم می‌آورد و در نتیجه سرعت نفوذ رنگزای کاتیونی به شدت افزایش



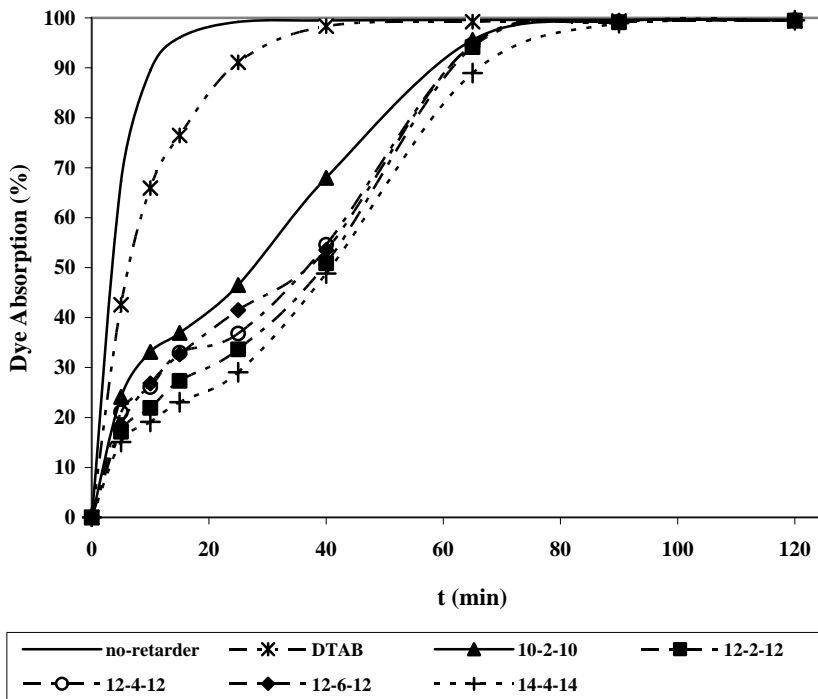
شکل ۲: تعیین غلظت اشباع رنگزای (MB) بر روی کالای اکریلیک. مقدار رنگزای متیلن بلو (MB) مورد استفاده در مقابل رنگزای جذب نشده در غلظت‌های مختلف.



شکل ۳: تغییرات درصد رنگزای متیلن بلوجذب شده توسط کالای اکریلیک در ۹۰ °C در مقابل زمان (نسبت مولی سطح فعال های دوقلو به MB برابر با ۰,۲۵ و نسبت مولی MB به DTAB برابر با ۰,۵ می باشند).



شکل ۴: تغییرات درصد رنگزای متیلن بلوجذب شده توسط کالای اکریلیک در ۹۰ °C در مقابل زمان (نسبت مولی سطح فعال های دوقلو به MB برابر با ۰,۵ و نسبت مولی MB به DTAB برابر با ۱,۰ می باشند).



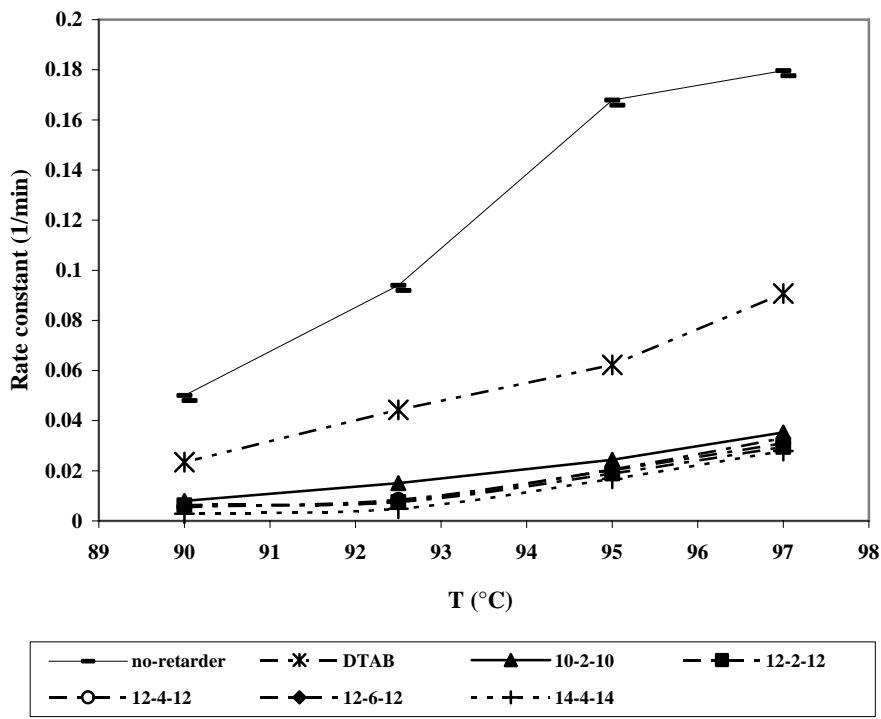
شکل ۵: تغییرات درصد رنگرای متیلن بلو جذب شده توسط کالای اکریلیک در  $95^{\circ}\text{C}$  در مقابل زمان (نسبت مولی سطح فعال های دوقلو به MB برابر با ۰,۵ و نسبت مولی MB برابر با ۱,۰).

### ۳-۴-بررسی رنگریزی اکریلیک با استفاده از معادلات سینتیکی تجربی

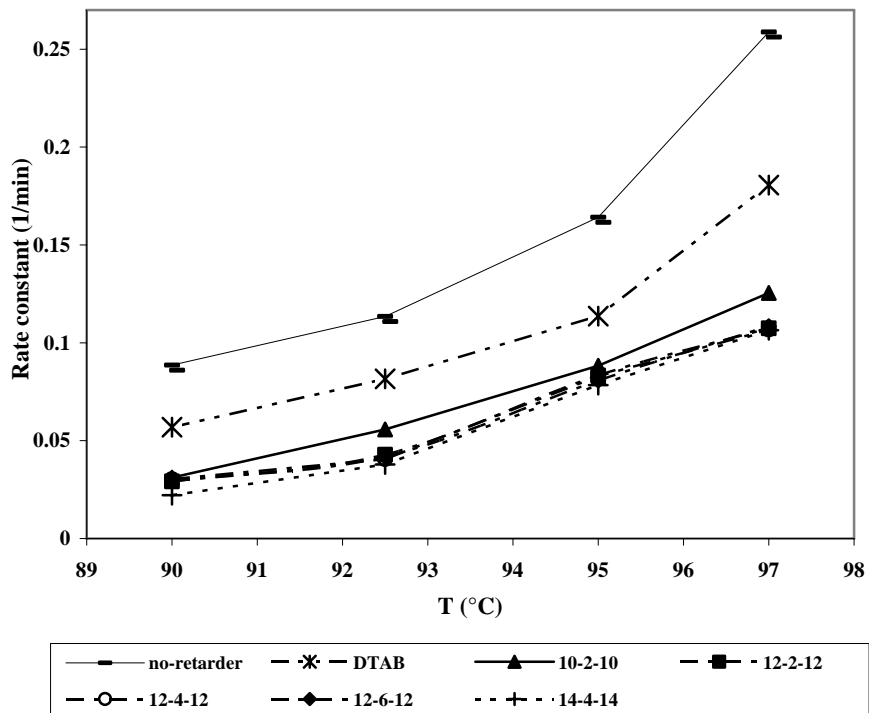
فرآیند رنگریزی اکریلیک با رنگرای متیلن بلو در حضور DTAB و پنج سطح فعال دوقلوی کاتیونی در چهار دمای مختلف ( $90^{\circ}\text{C}$ ,  $92,5^{\circ}\text{C}$ ,  $95^{\circ}\text{C}$  و  $97^{\circ}\text{C}$ ) مورد مطالعه قرار گرفت و ثوابت سرعت برای هر سیستم، با استفاده از معادلات سینتیکی مختلف تعیین گردید. در این میان معادله مرتبه اول (معادله ۲)، معادله اصلاح شده سگارا-پوئته (معادله ۴) و معادله همزمان مرتبه اول و دوم (معادله ۱۰) نتایج بهتری نسبت به سایر معادلات تجربی سینتیکی نشان دادند. منحنی تغییرات ثوابت سرعت رنگریزی بر حسب دما با استفاده از معادلات ۴ و ۱۰ محاسبه و در شکل های ۶ و ۷ ارائه شده اند.

ثوابت سرعت محاسبه شده با استفاده از این معادلات نشان می دهند که با افزایش دمای رنگریزی، سرعت رنگریزی به طور قابل توجهی افزایش می یابد و تفاوت قابل توجهی بین سرعت رنگریزی در حضور سطح فعال های دوقلوی کاتیونی و DTAB وجود دارد. در هر حال ثابت های سرعت محاسباتی تفاوت کمی را در حضور سطح فعال های دوقلوی ( $6 = 2$ ,  $4 = 5$  و  $12 = 8$ ) نشان می دهند. بنابراین، می توان نتیجه گرفت که طول پل ارتباطی تفاوت زیادی در اثر کندکنندگی این

در مطالعه رنگریزی اکریلیک در حضور آمین های پلی اتوکسیله گزارش شده است که سهولت نفوذ و انتشار آمین ها به داخل لیف، مهم ترین عامل در تعیین میزان کندکنندگی رنگریزی است. یعنی میزان کندکنندگی وابسته به درجه اتوکسیله شدن سطح فعال ها است. با افزایش طول زنجیر اتیلن اکسید، حلایت آمین در آب بالاتر می رود و در مقابل نفوذ و انتشار آن به داخل لیف کمتر می شود [۱۶]. از طرفی اثر کندکنندگی پلی اکریل آمیدها در رنگریزی اکریلیک نشان می دهد که این کندکنندگاهای پلی کاتیونی به دلیل وزن مولکولی بالا نمی توانند به داخل لیف اکریلیک نفوذ کنند و ایجاد ممانعت فضایی و خنثی سازی بار سطح لیف به عنوان دلیل رقابت با مولکول های رنگرای کاتیونی معرفی شده اند [۲۰]. بنابراین، می توان نتیجه گیری کرد که نفوذ و سرعت انتشار مولکول های سطح فعال و اشغال مکان های رنگ پذیر لیف از مهم ترین عواملی هستند که باعث کند شدن سرعت رنگریزی و جذب رنگرای کاتیونی می شوند. مطالعه اثر کندکنندگی سطح فعال های دوقلوی کاتیونی در مقایسه با نمونه مونومری آنها نشان می دهد که در کنار عواملی چون حلایت و اثر آبگریزی سطح فعال ها در محلول رنگریزی، عوامل دیگر مانند قدرت پیوند و ممانعت فضایی می توانند نقش بسیار تعیین کننده ای داشته باشند.



شکل ۶: ثابت‌های سرعت رنگرزی اکریلیک با رنگرای MB در حضور سطح‌فعال‌های کاتیونی در چهار دمای مختلف با استفاده از معادله سینتیکی اصلاح شده سگارا-پونته (معادله ۴).



شکل ۷: ثابت‌های سرعت رنگرزی اکریلیک با رنگرای MB در حضور سطح‌فعال‌های کاتیونی در چهار دمای مختلف با استفاده از معادله سینتیکی همزمان مرتبه اول و دوم (معادله ۱۰).

از سوی دیگر می‌تواند بر این نتیجه‌گیری تأثیرگذار باشد. از این رو، مطالعه و بررسی این مدل سینتیکی جدید و استفاده از آن در سایر فرآیندهای رنگرزی می‌تواند مورد توجه قرار گیرد.

انرژی فعال‌سازی ظاهری در فرآیند رنگرزی ( $E_a$ ) را می‌توان از شبی معادله تجربی آرنسیوس (معادله ۱۴) به دست آورد. در این معادله  $k$  ثابت سرعت رنگرزی،  $T$  دمای رنگرزی بر حسب درجه کلوین و  $R$  ثابت گازها را نشان می‌دهد. بنابراین شبی منحنی  $\ln k$  بر حسب  $1/T$  مقدار  $R/E_a$  می‌باشد که با معلوم بودن مقدار  $R$  انرژی فعال‌سازی سیستم رنگرزی محاسبه می‌شود [۱۱، ۱۶]. مقداری انرژی فعال‌سازی برای سیستم‌های مختلف رنگرزی در جدول ۲ ارائه شده‌اند.

$$\ln k = \ln k_0 - \frac{E_a}{RT} \quad (14)$$

همان‌طور که در جدول ۲ ملاحظه می‌شود، انرژی فعال‌سازی در حضور کندکننده‌ها تا حد زیادی افزایش پیدا می‌کند و لذا مولکول‌های رنگزا برای گذشتan از سد انرژی و غلبه بر شرایط تحمل شده محیطی احتیاج به انرژی بیشتری خواهند داشت. تفاوت انرژی فعال‌سازی در حضور سطح فعال‌های دوقلو (۶، ۴ و ۱۲-۸) بسیار نزدیک به هم است و این مقدار به طور قابل توجهی از انرژی فعال‌سازی در حضور سطح فعال مونومر آنها DTAB بیشتر است.

سطح فعال‌ها ایجاد نمی‌کند. از طرفی ثابت‌های سرعت رنگرزی با افزایش طول زنجیر آبگریز سطح فعال‌های دوقلو کاهش نشان می‌دهند که نشان دهنده افزایش اثر کندکننده‌گی این سطح فعال‌ها با افزایش طول زنجیر آبگریز می‌باشد.

برای بررسی مطابقت مقادیر تجربی رنگرزی و مدل‌های ارائه شده، ضرایب همبستگی ( $R^2$ ) این معادلات برای هر سیستم رنگرزی محاسبه و در جدول ۱ ارائه شده‌اند. میانگین و حداقل ضریب همبستگی به عنوان شاخصی برای مقایسه این سه معادله در نظر گرفته شده است. لازم به ذکر است که ضرایب همبستگی برای سایر معادلات سینتیکی (سهمه‌ی، مرتبه دوم و ...) نیز محاسبه شدند. اما این سه معادله بالاترین ضرایب همبستگی و به عبارت دیگر بهترین مطابقت را با مقادیر تجربی جذب رنگزای کاتیونی بر روی لیف اکریلیک از خود نشان دادند که در جدول ۱ آورده شده‌اند.

همان‌طور که در جدول ۱ ملاحظه می‌شود، مدل جدید ارائه شده (معادله سینتیکی مرتبه اول و دوم) مطابقت بهتری نسبت به سایر معادلات تجربی سینتیکی دارد. در کلیه سیستم‌های رنگرزی مورد بررسی، میانگین و حداقل ضرایب همبستگی این مدل بالاتر از سایر معادلات می‌باشد. این نتیجه‌گیری بر اساس ۴۲ سیستم رنگرزی مختلف استوار می‌باشد که نمایانگر کارآیی مناسب معادله پیشنهادی (معادله ۱۰) می‌باشد. اما در هر حال وجود خطاهای تصادفی و اندازه‌گیری از یک سو و بررسی سیستم رنگرزی خاص لیف اکریلیک

جدول ۱: ضرایب همبستگی ( $R^2$ ) معادله سینتیکی مرتبه اول، اصلاح شده سگارا-پونته و همزمان مرتبه اول و دوم در بررسی رنگرزی اکریلیک با رنگزای MB براساس نتایج ۴۲ سیستم رنگرزی مختلف.

ضرایب همبستگی ( $R^2$ )			
معادله سینتیکی همzman مرتبه اول و دوم (معادله ۱۰)	اصلاح شده سگارا-پونته (معادله ۴)	معادله سینتیکی مرتبه اول (معادله ۲)	
۰,۸۸۸۳	۰,۸۳۸۲	۰,۸۲۴۵	حداقل
۰,۹۶۴۸	۰,۹۴۵۶	۰,۹۴۰۰	میانگین

جدول ۲: مقدار انرژی فعال‌سازی فرآیند رنگرزی اکریلیک با MB در حضور و عدم حضور کندکننده‌ها.

مقدار انرژی فعال‌سازی ( $E_a$ ) سیستم رنگرزی بر حسب mol Kcal/mol						
بدون کندکننده	در حضور DTAB	در حضور				
۱۴-۴-۱۴	۱۲-۶-۱۲	۱۲-۴-۱۲	۱۲-۲-۱۲	۱۰-۲-۱۰	۵۲,۷۸	۴۲,۷۹
۶۱,۹۹	۵۲,۱۷	۵۱,۰۱	۵۲,۱۴	۵۰,۳		

#### ۴- نتیجه‌گیری

بنابراین، دارای اثر انسدادی بوده و استفاده غیر بهینه از آنها باعث جلوگیری از جذب کامل رنگریزی کاتیونی می‌شود.

ثبت‌های سرعت رنگریزی توسط معادلات سینتیکی تجربی مرتبه اول، معادله اصلاح شده سگارا-پونته و مدل ارائه شده در این تحقیق (معادله همزمان مرتبه اول و دوم) تعیین شدند. مدل همزمان مرتبه اول و دوم بالاترین توافق با مقادیر به دست آمده از رنگریزی اکریلیک در حضور سطح‌فعال‌های کاتیونی دوقلو را نشان می‌دهد. از این رو، می‌توان از این معادله تجربی برای تعیین ثابت‌های سرعت در رنگریزی اکریلیک استفاده نمود.

رنگریزی کالای اکریلیک با رنگریزی کاتیونی متیلن بلو در حضور سطح‌فعال‌های کاتیونی نشان می‌دهد که سرعت رنگریزی با افزایش دما افزایش می‌یابد و سطح‌فعال‌های کاتیونی دوقلو، کندکننده‌های به مراتب قوی تری نسبت به نمونه مونومری خود می‌باشند. اثر کندکننده‌گی سطح‌فعال‌های کاتیونی با افزایش غلظت آنها در محدوده مورد بررسی نسبت مستقیم دارد. برقراری پیوندهای قوی تر الکترواستاتیک مهم‌ترین دلیل برای توجیه اثر کندکننده‌گی سطح‌فعال‌های دوقلو در مقایسه با سطح‌فعال‌های مونومری است. این سطح‌فعال‌ها در غلظت‌های به مراتب پایین‌تری نسبت به نمونه مونومری خود قادرند مکان‌های رنگ‌پذیر سطح لیف را اشغال کنند.

#### ۵- مراجع

1. I. Holme, The coloration of acrylic fibres. *Rev. Prog. Coloration.* 13(1983), 10-22.
2. W. Beckmann, in: The dyeing of synthetic-polymer and acetate fibres, D. M. Nunn, (Ed.) Dyers Company Publications Trust: West Yorkshire. (1979), 359-91.
3. S. M. Burkinshaw, Chemical principles of synthetic fibre dyeing. Blackie Academic & professional, an imprint of Chapman & Hall: London. 1995.
4. J. Cegarra, Physical chemistry of the dyeing of acrylic fibers with basic dyes. *JSDC.* 87(1971), 149-55.
5. R. J. Harwood, R. McGregor, R. H. Peters, Adsorption of cationic dyes by acrylic films. I. Sorption isotherms. *JSDC.* 88(1972), 216-20.
6. R. J. Harwood, R. McGregor, R. H. Peters, Adsorption of cationic dyes by acrylic films. II. Kinetics of dyeing. *JSDC.* 88(1972), 288-92.
7. W. Biedermann, A. Ischi, An ion-exchange method to determine the uptake of colorless cations by acrylic fibers. *JSDC.* 95(1979), 4-9.
8. S. L. Chen, R. M. Rohner, H. Zollinger, Influence of dye size and fiber porosity on the dyeing kinetics and time lags in the uptake of cationic dyes on acrylic fibers. *Text. Res. J.* 58(1988), 247-54.
9. D. Balmforth, C. A. Bowers, T. H. Guion, Acrylic polymer composition and its relation to basic dye substantivity. *JSDC.* 80(1964), 577-83.
10. S. Rosenbaum, Dyeing of polyacrylonitrile fibers. I. Rates of diffusion with malachite green and diffusion model. *J. Appl. Poly. Sci.* 7(1963), 1225-42.
11. J. Cegarra, P. Puente, J. Valldeperas, The Dyeing of Textile Materials. Texilia: Biella. 1992.
12. S. Rosenbaum, Role of sites in dyeing. *Text. Res. J.* 34(1964), 159-67.
13. W. Beckmann, Dyeing polyacrylonitrile fibres with cationic dyes. *JSDC.* 77(1961), 616-25.
14. T. M. Baldwinson, in: Colorants and Auxiliaries, J. Shore, (Ed.) SDC: Bradford. 2(1990).
15. A. R. Tehrani-Bagha, H. Bahrami, B. Movassagh, M. Arami, S. H. Amirshahi, F. M. Menger, Dynamic adsorption of gemini and conventional cationic surfactants onto polyacrylonitrile. *Colloid Surface A.* 307(2007), 121-27.
16. J. Cegarra, P. Puente, J. M. Fiadeiro, Kinetics of dyeing acrylic fibres with cationic dyes in the presence of polyethoxylated amines. *JSDC.* 102(1986), 274-78.
17. A. D. Broadbent, Basic principles of textile coloration. The Society of Dyers and Colourist: Bradford, (2001), 391.
18. W. Beckmann and et.al., Determination of saturation characteristics of basic dyes and acrylic fibres. *JSDC.* 89(1973), 292-95.
19. A. R. Tehrani-Bagha, H. Bahrami, B. Movassagh, M. Arami, F. M. Menger, Interactions of gemini cationic surfactants with anionic azo dyes and their inhibited effects on dyeability of cotton fabric. *Dyes Pigments.* 72(2007), 331-38.
20. S. R. Shukla, M. Manisha, The retarding action of polyacrylamide in acrylic dyeing. *JSDC.* 109(1993), 330-33.